

钢铁冶金学讲座 第三卷

# 炼 钢 技 术

[日]三本木贡治 等 著

王 舒 黎 等 译

冶金工业出版社

钢铁冶金学讲座 第三卷

炼 钢 技 术

[日] 三本木貢治 等 著  
王 舒 黎 等 译

冶金工业出版社出版

(北京灯市口74号)

新华书店北京发行所发行

山西新华印刷厂印刷

787×1092 1/16 印张 $11\frac{3}{4}$  字数270千字  
1980年10月第一版 1980年10月第一次印刷  
印数 00,001~10,000册  
统一书号：15062·3488 定价1.25元

# 目 录

第六章 间接炼钢法 .....	( 1 )
第1节 绪论 .....	( 1 )
第2节 炼钢化学 .....	( 2 )
第3节 转炉炼钢法 .....	( 54 )
第4节 平炉炼钢法 .....	( 97 )
第5节 电炉炼钢法 .....	( 114 )
第6节 其它炼钢法 .....	( 131 )
第7节 脱氧及铸锭方法 .....	( 133 )
第七章 真空冶炼 .....	( 159 )
第1节 概要 .....	( 159 )
第2节 真空冶炼的物理化学 .....	( 159 )
第3节 真空感应炉冶炼 .....	( 165 )
第4节 真空自耗电弧炉冶炼 .....	( 166 )
第5节 特殊冶炼法 .....	( 168 )
第6节 钢铁真空冶炼的意义 .....	( 169 )
第7节 真空冶炼对质量产生的效果 .....	( 169 )
参考文献 .....	( 172 )
人、地、厂译名对照表 .....	( 178 )

# 第六章 间 接 炼 钢 法

## 第1节 绪 论

间接炼钢法可以根据不同的观点进行分类。如果根据操作温度来分类，可以分为固态精炼法（操作温度约为1250℃以下，在固态下精炼），半熔融精炼法（操作温度约为1250～1450℃以下，在半熔融状态下精炼）和熔融精炼法（操作温度约为1550℃以上，在熔融状态下精炼）。在无法达到高温的年代里，采用固态精炼法和半熔融精炼法炼钢，进行小规模生产。即使在现代，在某些特殊地区或特殊情况下，也还有采用这种方法的。但在产品的均匀性、铁的收得率和渣钢的分离等方面，都不如熔融精炼法。因此，未能成为大规模的生产方法。近代炼钢的主要方法，仍然是熔融精炼法。采取熔融精炼的间接炼钢法，可根据炉子类型或炉渣材料（或炉渣性质）进行详细分类。现在，根据炉子类型来分类，同时将操作内容和主要原料等项目一并列于表6-1中。

表6-1 采取熔融精炼的间接炼钢法的分类

炼 钢 法	使 用 的 炉 子	操 作 内 容	主 要 原 料	备 注
坩埚炼钢法	坩 �埚 炉	配 料，熔 化	废 钢	石墨坩埚或粘土坩埚
转炉炼钢法	转 壶 炉	熔 化，精 炼	铁 水	酸性炉底或碱性炉底
平炉炼钢法	平 壶 炉	熔 化，精 炼	生 铁 和 废 钢	酸性炉底或碱性炉底
电弧炉炼钢法	电 弧 炉	熔 化，精 炼	生 铁 和 废 钢	酸性炉底或碱性炉底
高频电炉炼钢法	高 频 电 炉	配 料，熔 化	废 钢	酸性炉底或碱性炉底

再有，转炉、平炉和电炉等炉子在用石英砂等酸性材料作为炉底材料，也就是用酸性炉渣操作时，称为酸性炼钢法；而在用白云石、镁砂等碱性材料作为炉底材料，也就是用碱性炉渣操作时，称为碱性炼钢法。由于所用的炉子种类不同、炉底材料不同以及原料也有差别，而使各种炼钢法的产品各自具有不同的特点。所以要考虑生产规模、原料情况和对产品在材质上的要求，来采用最合适的炼钢方法。

这些熔融精炼法的技术进步是惊人的。其中连以前位居各种炼钢法首位的平炉炼钢法，也从1955年以后，正在迅速地向氧气顶吹转炉炼钢法过渡。氧气顶吹转炉炼钢法在日本发展很快，虽然有各种各样的原因，但也不能离开1955年当时的经济背景：当时钢铁生产发展迅速，废钢非常缺乏，预见到废钢价格定将超过生铁价格。

再有，在炼钢技术的发展中，应该大书特书的有：（1）铁水预处理法；（2）真空处理法；（3）连续浇铸法等。另外，电炉炼钢法随着炉子容量的增大，生产率的提高，不但在炼优质钢方面，而且在炼普通钢方面也一直受到注视。

在第六章里，将详细地分别叙述这些问题。这些技术进步的基础，除有历来的平衡理论方面的研究以外，还有从化工学或从动力学观点上，对钢水的流动、传热和物质迁

移等方面的研究。在炼钢领域里，化工学或反应工程学除研究新的炼钢设备外，还要将着眼点放在整理炼钢过程中各种复杂因素之间的关系上，使它数模化，以便对炼钢操作进行分析。然而根据上述观点的炼钢理论，还没有建立起来。今后对这方面的研究，抱有很大的期望。

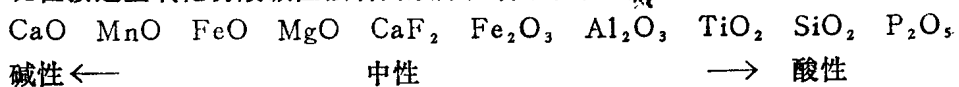
(三本木貢治)

## 第2节 炼 钢 化 学

### 1. 炉 渣

(1) 炉渣组成 炉渣以金属氧化物为主，还含有少量的硫化物和氟化物。炉渣的组成如何，对钢水同炉渣之间的化学反应有很大的影响。因为炼钢是通过造渣来进行的。

虽然“组成氧化物”这个术语不是纯粹化学上的定义，但以炉渣的主要成分 $\text{CaO}$ 和 $\text{SiO}_2$ 作为标准，可将炉渣的“组成氧化物”分为碱性氧化物、酸性氧化物和中性氧化物。现在按这些氧化物酸碱性强弱的顺序，将它们排列在下面。



基本渣系是 $\text{FeO}-\text{SiO}_2-\text{CaO}$ 系，酸性成分多的炉渣，称为酸性渣；碱性成分多的炉渣，称为碱性渣。另外，根据影响炉渣氧化性的( $\text{FeO}$ )多少，将炉渣称为氧化性炉渣或还原性炉渣。

各种炼钢法的炉渣性质列于表6-2。

表6-2 炼 钢 方 法 和 炉 渣 性 质

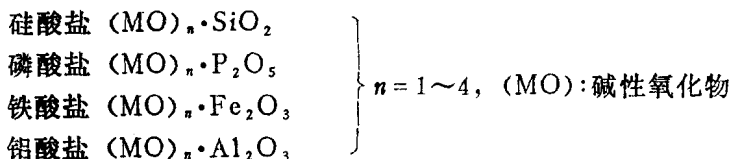
项目 炉渣种类	成 分 (重量%)	平 炉 转 炉	电 弧 炉	冶 金 反 应	操 作
酸性氧化渣	$\text{FeO} + \text{MnO}$ (+ $\text{CaO}$ )	~50%	~50%	$[\text{C}]$ 、 $[\text{Si}]$ 、 $[\text{Mn}]$ 氧化缓慢 $[\text{CO}]$ 比较少	必须选择( $\text{P}$ )、( $\text{S}$ )含量低的好原料
	$\text{SiO}_2$	~50%	~50%	不能去除( $\text{P}$ )、( $\text{S}$ )	
碱性氧化渣	$\text{CaO}/\text{SiO}_2$	3.0~4.5	2.5~3.5	$[\text{C}]$ 、 $[\text{Si}]$ 、 $[\text{Mn}]$ 、 $[\text{P}]$ 迅速氧化	几乎所有其它元素都氧化
	$\text{FeO}$	15~40	5~30	$[\text{CO}]$ 比较多	
	$\text{Al}_2\text{O}_3$	2~15	5~15		
	$\text{MgO}$	5	5	能很好地去( $\text{P}$ )	
	$\text{MnO}$	5~15	5~10	能去除50~60%的( $\text{S}$ )	
碱性还原渣	$\text{CaO}/\text{SiO}_2$		2.0~3.5	脱硫能力强	适合熔化大量易氧化的合金元素
	$\text{Al}_2\text{O}_3$		10~15	脱氧能力强	
	$\text{CaF}_2$		2~5	回磷，增碳	
	$\text{CaC}_2$		~1~2	$[\text{H}]$ 增加	
	$\text{FeO}$		2~1~	$[\text{N}]$ 增加	

这些成分之间的反应或炉渣结构是重要的，而研究炉渣的目的在于求出各种成分的活度。

## (2) 炉渣结构的分子学说

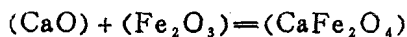
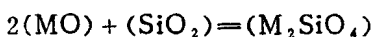
### ① 假定炉渣生成稳定的复合化合物的学说

分子学说是最简单的考虑问题的方法，它是根据氧化物之间的平衡状态图或对凝固炉渣作的岩相研究，将所见到的化合物当作在炉渣中能生成的稳定的复合化合物。归纳整理这些化合物与钢水之间的各种反应，已收到一些成效。按生成各种盐类来考虑的化合物有以下这些。

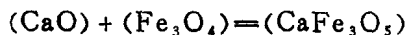


当作主要复合化合物的有  $\text{Ca}_2\text{SiO}_4$  (或  $\text{Ca}_4\text{Si}_2\text{O}_8$ )、 $\text{CaFe}_3\text{O}_5$ 、 $\text{Ca}_3\text{P}_2\text{O}_8$ 、 $\text{Ca}_4\text{P}_2\text{O}_9$  和  $\text{CaAl}_2\text{O}_4$  等复合化合物。费特尔斯和启普曼<sup>1)</sup>根据这些复合化合物能很好地说明氧的分配。

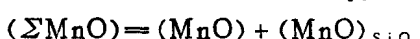
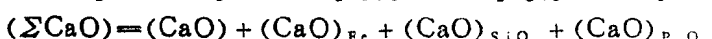
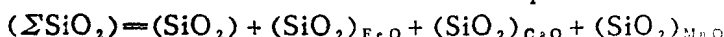
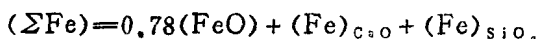
② 复合化合物分解的学说<sup>2-5)</sup> 这种学说认为生成的复合化合物在炉渣中分解，并试图用游离成分来表示活度，还假想有下列反应。



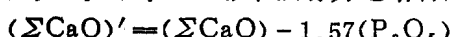
或者



并认为：



在这种情况下，如  $\text{P}_2\text{O}_5$  与  $\text{CaO}$  非常强有力地结合起来，一般用下式表示。



因为要用上述那些反应的平衡常数计算炉渣的各种成分，所以就要预先给出游离成分的浓度才能进行计算。将游离成分和全成分 ( $\Sigma$  成分) 画成图表，用起来将比较方便<sup>2)</sup>。

③ 离子解离学说 炉渣中各种成分解离为离子这一事实，人们很早就已经知道。但对它的应用最近才发展起来，而且取得了相当的成就。

$\text{SiO}_2$  的晶格如图 6-1 所示，是四个氧 ( $\text{O}$ ) 原子包围一个硅 ( $\text{Si}$ ) 原子的四面体晶格，二维晶格图如图 6-1(a) 所示。在这种晶格中，如进来其它金属氧化物，例如进来  $\text{CaO}$  时，则  $\equiv \text{Si}—\text{O}—\text{Si}\equiv$  的网络就被破坏 (图 6-1(b))，而置换为  $\text{Ca}—\text{O}$  的结合，并且电中性将一直持续到生成  $\text{Ca}_2\text{SiO}_4$  为止。如表 6-3 所示，这中间的变化过程是根据氧 ( $\text{O}$ ) 原子数和硅 ( $\text{Si}$ ) 原子数的比例而变化的。

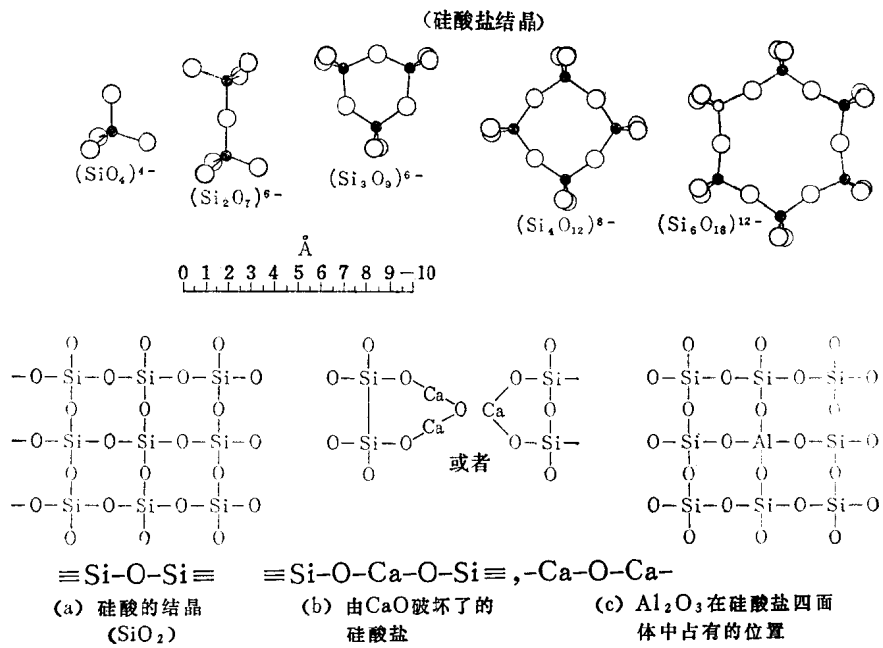


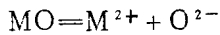
图6-1 硅酸盐的结构

表6-3 晶格网络的关系

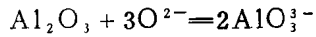
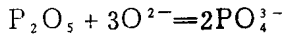
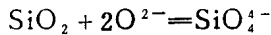
O/Si	分子式	结 构
2/1	$\text{SiO}_2$	四面体中心配位 Si 原子，四角配位 O 原子
5/2	$(\text{MO} \cdot 2\text{SiO}_2)$	四面体的一个环破坏
3/1	$(\text{MO} \cdot \text{SiO}_2)$	四面体的两个环破坏
7/2	$(3\text{MO} \cdot 2\text{SiO}_2)$	四面体的三个环破坏
4/1	$(2\text{MO} \cdot \text{SiO}_2)$	四面体所有的环破坏， $\text{SiO}_4^{4-}$ 解离
4/1以上		根据 $\text{MO} = \text{M}^{2+} + \text{O}^{2-}$ ，除 $\text{M}^{2+}$ 外 $\text{O}^{2-}$ 重新解离

A1 配位数为 4，而且离子半径也和 Si 大致相同，能在一定限度内进入  $\text{SiO}_4$  四面体中置换 Si (图6-1(c))。P 离子半径也和 Si 相似，虽说也能同样置换 Si，但还不够明确。

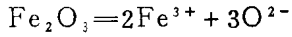
在碱性炉渣中，碱性成分生成：



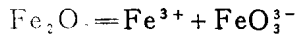
酸性成分和  $\text{O}^{2-}$  结合生成阴络离子：



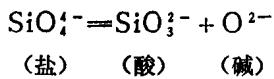
关于  $\text{Fe}_2\text{O}_3$  的解离，虽然还没有定论，但下式好象还是比较妥当的。



或



勒克斯<sup>6)</sup>将弗洛德和弗尔兰德的酸碱定义改变一下，认为在酸性渣中是下列的中和反应：



根据酸、碱离子之间的相互作用的静电引力大小，能测出氧化物的酸碱性强弱。如以  $P$  表示离子之间的相互作用的静电引力时，可得出：

$$P = Z_+ \cdot Z_- \times \frac{e^2}{a^2}$$

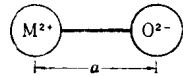


图6-2

式中， $a$ ：两个离子之间的距离； $e$ ：电子的电荷； $Z$ ：离子的电价。只是在这种情况下，即将阴阳两个离子看作是点电荷而又忽略极化作用时，上式才成立。采取  $\text{O}^{2-}$  作为阴离子， $e$  作为常数，将下式中的  $I$  定义为阳离子和在它周围的  $\text{O}^{2-}$  之间相互作用的强度标准，可得出：

$$I = \frac{2Z_+}{a^2}$$

可以认为  $I$  大的离子结合得强， $I$  小的离子结合得弱。总之， $I$  大的离子是强酸， $I$  小的离子容易解离，是所谓易被强酸吸引过去的强碱性物质。失去电子对取共轭结合的是碱，接受电子对转向配位结合的是酸。碱的强度根据放出电子，也就是根据放出  $\text{O}^{2-}$  的难易程度来决定。各种氧化物的  $I$  值列于表 6-4。

表6-4 氧化物的  $I$  值 ( $I = 2Z_+/a^2$ )

各种因素 氧化物	阳离子	配位	$I$ 值	各种因素 氧化物	阳离子	配位	$I$ 值
K <sub>2</sub> O	K <sup>+</sup>	6	0.24	ThO <sub>2</sub>	Th <sup>4+</sup>	8	0.98
Na <sub>2</sub> O	Na <sup>+</sup>	6	0.36	ZnO	Zn <sup>2+</sup>	4	1.00
Li <sub>2</sub> O	Li <sup>+</sup>	6	0.50	BeO	Be <sup>2+</sup>	4	1.37
BaO	Ba <sup>2+</sup>	6	0.53	Cr <sub>2</sub> O <sub>3</sub> <sup>①</sup>	Cr <sup>3+</sup>	6	1.44
SrO	Sr <sup>2+</sup>	6	0.63	Fe <sub>2</sub> O <sub>3</sub>	Fe <sup>3+</sup>	6	1.50
CaO	Ca <sup>2+</sup>	6	0.70	ZrO <sub>2</sub>	Zr <sup>4+</sup>	8	1.53
MnO	Mn <sup>2+</sup>	6	0.83	TiO <sub>2</sub>	Ti <sup>4+</sup>	6	1.85
FeO	Fe <sup>2+</sup>	6	0.87	Al <sub>2</sub> O <sub>3</sub>	Al <sup>3+</sup>	6	1.66
NiO	Ni <sup>2+</sup>	6	0.91	SiO <sub>2</sub>	Si <sup>4+</sup>	4	2.81
MgO	Mg <sup>2+</sup>	6	0.95	P <sub>2</sub> O <sub>5</sub>	P <sup>5+</sup>	5	3.31

文献8)以及戈代和托马斯: J. Chem. Phys. 24(1956)439。

① 译注: 原书误为 CrO<sub>3</sub>。

(4) 碱度 虽然炉渣成分的有效浓度应该取热力学上的活度，但由于在实际应用上非常复杂，所以用碱度或酸度来表示炉渣性质，还是比较方便的。

①根据酸、碱比表示碱度的方法

在一般情况下，由于 CaO 和 SiO<sub>2</sub> 是炉渣的主要成分，所以用下式表示炉渣碱度：

$$\text{碱度} = \frac{\text{CaO}}{\text{SiO}_2}$$

同样将炉渣全部成分分为酸性和碱性时，则用下式表示碱度：

$$\text{碱度} = \frac{\text{碱性成分的总和}}{\text{酸性成分的总和}}$$

以  $\text{Al}_2\text{O}_3$  为主要成分的高炉渣等，用下式表示碱度：

$$\text{碱度} = \frac{\text{CaO}}{(\text{SiO}_2 + \text{Al}_2\text{O}_3)}$$

$\text{P}_2\text{O}_5$  多的炉渣要重视  $\text{P}_2\text{O}_5$  的影响，这时用下式表示炉渣碱度：

$$\text{碱度} = \frac{\text{CaO}}{(\text{SiO}_2 + \text{P}_2\text{O}_5)}$$

考虑到  $\text{SiO}_2$  以外的强酸对碱度的影响，将同这种强酸结合的碱性成分，一开始就从  $\text{CaO}$  中扣出，以  $\text{CaO}'$  表示时，则得到：

$$\text{碱度} = \frac{\text{CaO}'}{\text{SiO}_2}$$

假定  $3\text{CaO}\cdot\text{P}_2\text{O}_5$  和  $4\text{CaO}\cdot\text{P}_2\text{O}_5$  为稳定化合物时，以下式表示  $\text{CaO}'$ ：

$$\text{CaO}' = \text{CaO} - 3\text{P}_2\text{O}_5$$

$$\text{CaO}' = \text{CaO} - 4\text{P}_2\text{O}_5 \text{ (摩尔浓度)}$$

假定  $2\text{MO}\cdot\text{SiO}_2$ 、 $4\text{MO}\cdot\text{P}_2\text{O}_5$ 、 $\text{MO}\cdot\text{Al}_2\text{O}_3$  和  $\text{MO}\cdot\text{Fe}_2\text{O}_3$  为稳定化合物时，以下式表示碱度：

$$\text{碱度} = \frac{\sum \text{MO}}{(\text{SiO}_2 + 2\text{P}_2\text{O}_5 + \frac{1}{2}\text{Al}_2\text{O}_3 + \frac{1}{2}\text{Fe}_2\text{O}_3)} \text{ (摩尔浓度)}$$

炉渣碱度可以采取以上的各种表示方法。

②过剩碱 (Excess base, E.B.) 假定在氧化物之间已生成稳定的化合物，残余的没有结合的碱性成分，称为过剩碱。可用过剩碱表示炉渣碱度。如果认为  $\text{Ca}_2\text{SiO}_4$ 、 $\text{Ca}_3\text{P}_2\text{O}_8$  为稳定化合物时，可得出：

$$\text{过剩碱} = \text{CaO} - 1.86\text{SiO}_2 - 1.19\text{P}_2\text{O}_5 \text{ (重量\%)}$$

如果认为  $\text{Ca}_2\text{SiO}_4$ 、 $2\text{MO}\cdot\text{Al}_2\text{O}_3$  和  $\text{MO}\cdot\text{Fe}_2\text{O}_3$  为稳定化合物时，则

$$\text{过剩碱} = \sum \text{MO} - 2\text{SiO}_2 - 4\text{P}_2\text{O}_5 - 2\text{Al}_2\text{O}_3 - \text{Fe}_2\text{O}_3 \text{ (摩尔浓度)}$$

或者       $\text{过剩碱} = (N_{\text{CaO}} + N_{\text{MgO}} + N_{\text{MnO}} + \dots)$

$$- (2N_{\text{SiO}_2} + 4N_{\text{P}_2\text{O}_5} + \dots) \text{ (克分子分数)}$$

如果考虑到离子的解离以游离  $\text{O}^{2-}$  的克分子数表示时，则

$$n_{\text{O}^{2-}} = (n_{\text{CaO}} + n_{\text{MgO}} + n_{\text{MnO}} + n_{\text{FeO}}) - (2n_{\text{SiO}_2} + 3n_{\text{Al}_2\text{O}_3} + 3n_{\text{P}_2\text{O}_5})$$

③考虑酸、碱强度的表示方法 分子学说认为，与其用化学亲和力来表示炉渣中各种成分之间的结合力，不如计算它们的游离成分浓度。因此，建议将游离成分当作有效成分。根据这种想法，而引出了酸、碱强弱的概念。求出  $\text{CaO}/\text{SiO}_2 = 2.0 \sim 3.0$  时的各种酸碱的强度，如表 6-5 所示<sup>2-5)</sup>。

森<sup>9)</sup> 根据离子解离的研究以及电化学的测定结果，还提出了如下的求炉渣组成氧化物酸碱强度系数的权宜方法。

$$B_L = \sum_i a_i N_i$$

式中,  $B_L$ : 碱度;  $N_i$ : 各成分的克分子数;  $a_i$ : 常数。按照各种方法计算炉渣成分的例题, 列于表 6-7 中。

表6-5(a) 碱强度的比较

研究者 CaO/ SiO <sub>2</sub>	怀特	申克	一户	一户
	碱	2.0~2.5	2.0~2.5	2.0
CaO	1.00	1.00	1.00	1.00
MgO	—	0.00	0.85	0.50
MnO	0.60	0.94	0.60	0.33
FeO	0.10	0.45	0.08	0.05

表6-5(b) 酸强度的比较

各种因素 酸	生成物	强 度
SiO <sub>2</sub>	Ca <sub>2</sub> SiO <sub>4</sub>	1.00
P <sub>2</sub> O <sub>5</sub>	Ca <sub>3</sub> P <sub>2</sub> O <sub>8</sub>	1.29
Al <sub>2</sub> O <sub>3</sub>	Ca <sub>2</sub> Al <sub>2</sub> O <sub>5</sub>	0.035

表6-6 各种氧化物和  $a_i$  值

氧化物	SiO <sub>2</sub>	TiO <sub>2</sub>	Al <sub>2</sub> O <sub>3</sub>	FeO	MgO	MnO	CaO
$a_i$	-6.3	-5.0	-0.2	+3.5	+4.0	+4.8	+6.1

## 2. 炉渣的有效成分

(1) 炉渣的氧化能力<sup>10)</sup> 炉渣中的氧化物(MO)活度( $a_{MO}$ )用下式表示。

$$a_{MO} = \gamma \cdot (MO) \quad (\gamma: \text{活度系数})$$

①纯氧化铁<sup>11)</sup>

$$(FeO) = [Fe] + [O]$$

$$L = \frac{a_0}{a_{FeO}} = \frac{f_b^{(0)} \cdot [\% O]}{a_{FeO}}$$

$$a_{FeO} = \frac{[\% O]}{[\% O] \text{最大值}}$$

$$\lg L \left( = \frac{[\% O]}{a_{FeO}} \right) = - \frac{6320}{T} + 2.734$$

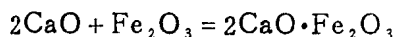
$$\lg f_b^{(0)} = \left( - \frac{1750}{T} + 0.76 \right) \cdot [\% O]$$

$$[\% O] \text{最大值} = 0.23 \quad (1600^\circ C)$$

MnO对  $L$  几乎没有什么影响, MgO到10%克分子浓度为止也没有影响<sup>12,13)</sup>。

②碱性炉渣

(a) FeO-CaO



因为发生上述反应, 所以不服从拉乌尔定律<sup>14)</sup>。

表6-7 炉渣组成计算示例

炉渣成分	CaO	MgO	MnO	FeO	Fe <sub>2</sub> O <sub>3</sub>	SiO <sub>2</sub>	P <sub>2</sub> O <sub>5</sub>	Al <sub>2</sub> O <sub>3</sub>		
炉渣成分分析值(重量%)	41.33	8.00	9.60	10.20	3.90	21.36	1.50	4.00	总摩尔数	
100克中的摩尔数	0.738	0.199	0.135	0.142	0.024	0.356	0.010	0.039	1.644	
摩尔分数	0.449	0.121	0.082	0.087	0.0144	0.216	0.006	0.024	1.00	
	CaO、Fe <sub>2</sub> O <sub>3</sub> (-0.014)				0.014					
生成复合 化合物时 的各种成 分的浓度	Ca <sub>4</sub> Si <sub>2</sub> O <sub>8</sub> (-0.216)					0.108				
	Ca <sub>4</sub> P <sub>2</sub> O <sub>9</sub> (-0.024)						0.006			
	CaAl <sub>2</sub> O <sub>4</sub> (-0.024)							0.024		
	固定CaO (-0.278)				C.F	C <sub>4</sub> ·S <sub>2</sub>	C <sub>4</sub> ·P	C·A	总摩尔数	
组成摩尔数	0.171	0.121	0.082	0.87	0.014	0.108	0.006	0.024	0.613	
摩尔分数	0.279	0.197	0.134	0.142	0.023	0.176	0.010	0.039	1.00	
	炉渣生成的化合物根据泰勒，启普曼：Tr.AIME 154(1943)228；温克勒，启普曼：Tr.AIME 167(1946)111。									
完全电离 的离子 浓度	克离子数n <sub>i</sub>	Ca <sup>2+</sup> 0.738	Mg <sup>2+</sup> 0.199	Mn <sup>2+</sup> 0.135	Fe <sup>2+</sup> 0.142	Fe <sup>3+</sup> 0.049	SiO <sub>4</sub> <sup>4-</sup> 0.356	PO <sub>4</sub> <sup>3-</sup> 0.022	AlO <sub>4</sub> <sup>3-</sup> 0.078	1.719
	金属氧化物解离的O <sup>2-</sup> 克离子数	0.738	0.199	0.135	0.142	0.049 × 3/2 0.073				1.287
	消耗于阴离子的O <sup>2-</sup> 克离子数					0.356 × 2 0.712	0.022 × 3/2 0.033	0.078 × 3/2 0.117		0.862
	游离O <sup>2-</sup> 离子数：nO <sup>2-</sup>						1.287 - 0.862 =			0.425
复合化合 物的生成 和解离	n <sub>i</sub>	0.738	0.199	0.135 Σn <sub>i</sub> = 2.144	0.142	0.049	0.356	0.022	0.078	nO <sup>2-</sup> 0.425
	离子分数n <sub>i</sub> /Σn <sub>i</sub>	0.344	0.093	0.063	0.066	0.023	0.166	0.010	0.036	0.198
	重量%	(CaO) 6.0	MgO <sup>①</sup> 8.00	(MnO) 3.0	(FeO) 6.0	② (SiO <sub>2</sub> ) 7.0	② (Al <sub>2</sub> O <sub>3</sub> ) 4.00			
	游离成分	$\Sigma Fe = 10.73, (\Sigma CaO)' = 41.33 - 2.36 = 38.97$								
①原注：按中性处理 ②原注：按固定为Ca <sub>4</sub> P <sub>2</sub> O <sub>9</sub> ，并存在一部分CaO·Fe <sub>3</sub> O <sub>4</sub> 合计为总铁含量ΣFe 申克：Physikalische Chemie der Eisenhüttenprozesse Bd I										

$$L = \frac{[\% O]}{a_{FeO}}$$

表6-8 FeO-CaO系炉渣FeO的浓度·a<sub>FeO</sub>和γ的关系

FeO(摩尔%)	80	62	60	50
a <sub>FeO</sub>	0.72	0.42	0.40	0.31
γ	0.875	0.675	0.670	0.610

$$\lg[\%O]_{CaO\text{ 饱和}} = -\frac{A}{T} + B$$

表6-9  $\lg[\%O]_{CaO\text{ 饱和}}$  的实测例

作 者 各种因素	A	B	$\lg[\%O]_{CaO\text{ 饱和}}$ 1600°C	$N_{FeO-CaO\text{ 饱和}}$	$a_{FeO-CaO\text{ 饱和}}$
菲舍尔, 恩德 <sup>15)</sup>	-4030	+1.13	0.0962	0.62	0.418
三本木 渡边 <sup>16)</sup>	-1410	-0.40	0.0704	$\approx 0.50$	0.306

(b) 实际炉子中的炉渣 实际炉渣含有 FeO、CaO、MgO、MnO、Al<sub>2</sub>O<sub>3</sub>、SiO<sub>2</sub> 和 P<sub>2</sub>O<sub>5</sub>，成分是非常复杂的。因此，炉渣分子学说必须考虑 Ca<sub>4</sub>Si<sub>2</sub>O<sub>8</sub>、CaFe<sub>2</sub>O<sub>4</sub>、CaAl<sub>2</sub>O<sub>5</sub>、Ca<sub>4</sub>P<sub>2</sub>O<sub>9</sub> 和其他复合化合物<sup>1,17)</sup>。将这些关系包括进去，就能在  $a_{FeO}$  和  $N_{FeO}$  之间得到理想的直线关系。按照这种方法求出 1600°C 的氧分配系数  $L$ ，在二元系坐标上和三元系坐标上画出氧化铁等活度线 ( $a_{FeO}$ )，如图6-3所示<sup>14,18,19)</sup>。从图中可以看出，氧化铁活度 ( $a_{FeO}$ ) 随着炉渣的组成不同而有很大的变化，在同样的氧化铁浓度 ( $N_{FeO}$ ) 下，在 CaO/SiO<sub>2</sub> = 2.0 时，氧化铁活度 ( $a_{FeO}$ ) 最大，这时  $\gamma_{FeO} \gg 1.0$ 。

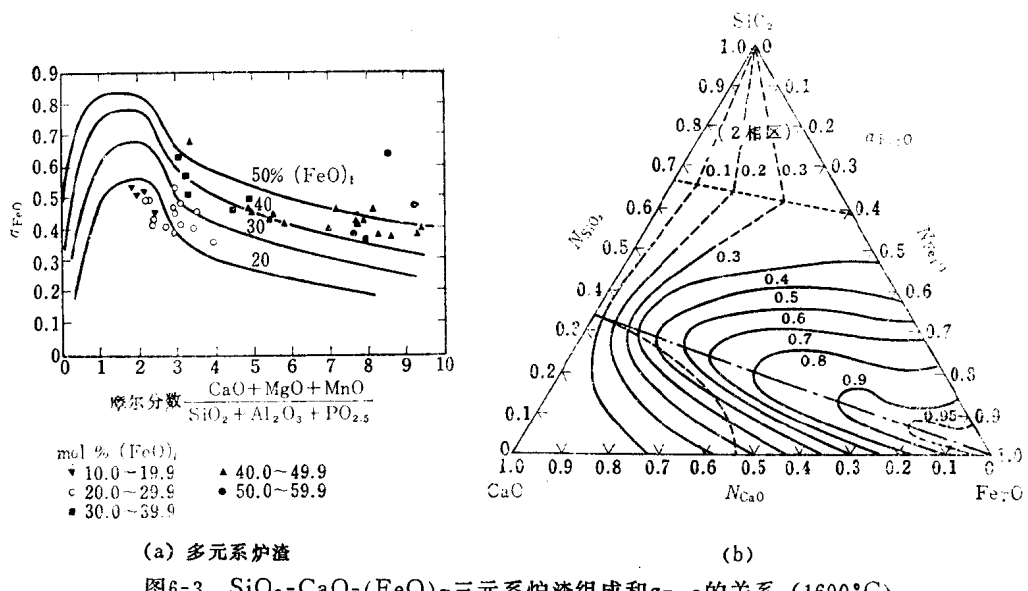
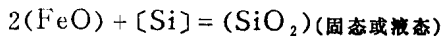


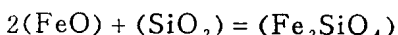
图6-3 SiO<sub>2</sub>-CaO-(FeO)<sub>T</sub>三元系炉渣组成和  $a_{FeO}$  的关系 (1600°C)

### ③酸性炉渣

#### (a) FeO-SiO<sub>2</sub>



在熔化的炉渣中，进一步生成铁橄榄石。



因此， $a_{FeO}$  偏离拉乌尔定律<sup>20)</sup>。这个渣系的氧化铁活度 ( $a_{FeO}$ ) 和二氧化硅活度 ( $a_{SiO_2}$ )

列于表 6-10 中。

表6-10 FeO-SiO<sub>2</sub>渣系 FeO浓度和  $a_{FeO}$ 、 $a_{SiO_2}$  的关系

$a$	$N_{FeO}$	0.9	0.8	0.7	0.6	0.55	0.5	2.0
$a_{FeO}$	0.95	0.85	0.60	0.45	0.40	0.40	0.40	实测
$a_{SiO_2}$	0.10	0.26	0.40	0.90	1.0	1.0	1.0	估计

$$\lg a_{FeO} = \frac{2400}{T} - 1.6515$$

$$\lg K \left( = \frac{a_{SiO_2}}{[\% Si] \cdot a_{FeO}} \right) = \frac{17770}{T} - 6.122$$

在固体 SiO<sub>2</sub> 饱和的炉渣中，二氧化硅活度  $a_{SiO_2} = 1.0$ 。

$$\therefore \lg [\% O]_{SiO_2 \text{饱和}} = \frac{A}{T} + B$$

对这个问题有很多的研究，现在将这些研究结果列于表 6-11 中。

表6-11 (SiO<sub>2</sub>) 饱和的FeO-SiO<sub>2</sub>系炉渣的氧化能力

作 者	$\lg K = \frac{A}{T} + B$		[\% O]_{SiO_2 \text{饱和}}	$a_{FeO \cdot SiO_2 \text{饱和}}$	$N_{FeO}$	备注
	A	B				
菲舍尔，恩德 <sup>15)</sup>	-3820	+1.08	0.0977	0.425	0.483	FeO-SiO <sub>2</sub>
申克，维斯内尔 <sup>21)</sup>	-6120	+2.212	0.0885	0.385	0.437	FeO-SiO <sub>2</sub>
三本木，渡边 <sup>22)</sup>	-6550	+2.440	0.0871	0.380	0.43	FeO-SiO <sub>2</sub>
科贝尔，欧尔森 <sup>22)</sup> $L_{\text{饱}} = \frac{[\% FeO]}{[\% FeO]} \times 10^{-4} \times$	=0.38 0.0512	$t^{\circ}\text{C} -$	0.102	0.440	0.500	FeO-SiO <sub>2</sub> -MnO
综合估 计			0.092	0.40	0.50	$[\% Si] = 0.003$

在图 6-4 FeO-MnO-SiO<sub>2</sub>渣系的三角形坐标图上，画有  $a_{FeO}$ 、 $a_{SiO_2}$  和  $a_{MnO}$  的等活度线<sup>23)</sup>。

## (2) 碱性炉渣各种成分的活度

①  $\gamma_{FeO} \cdots \cdots a_{FeO}$

图6-5<sup>24)</sup>

$\gamma_{SiO_2} \cdots \cdots a_{SiO_2}$

图6-6<sup>24)</sup>

$\gamma_{MnO} \cdots \cdots a_{MnO}$

图6-7<sup>25)</sup>

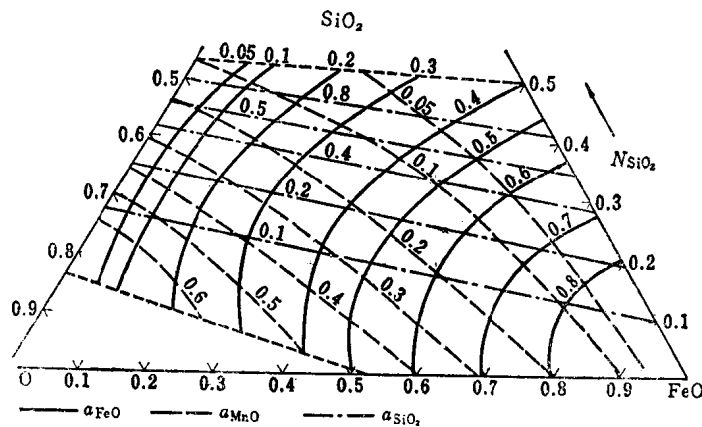


图6-4 FeO-MnO-SiO<sub>2</sub>三元系炉渣和 $a_{FeO}$ 、 $a_{SiO_2}$ 、 $a_{MnO}$ 的关系

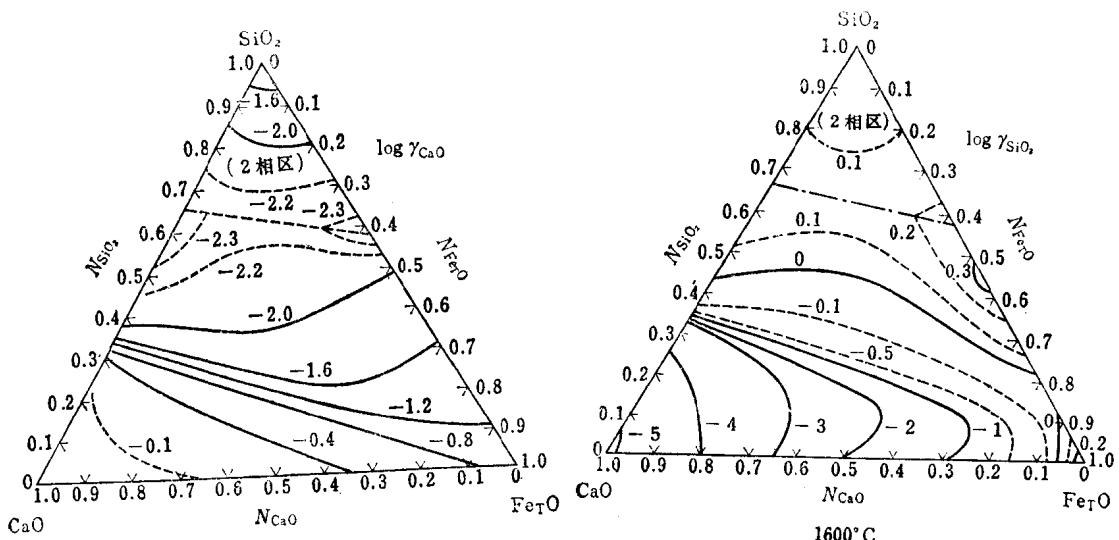


图6-5 FeO-CaO-SiO<sub>2</sub>三元系炉渣的组成和 $\gamma_{CaO}$ 的关系

图6-6 CaO-SiO<sub>2</sub>-Fe<sub>2</sub>O三元系炉渣的组成和 $\gamma_{SiO_2}$ 的关系

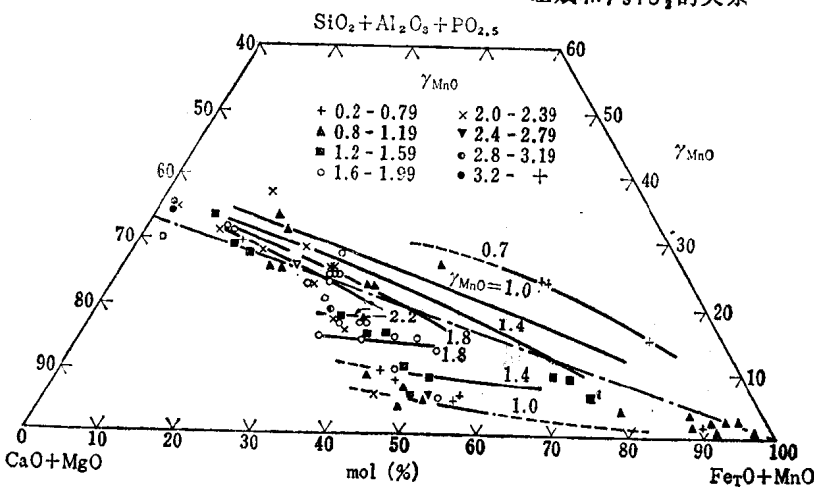


图6-7 炼钢炉渣的组成和 $\gamma_{MnO}$ 的关系

### 3. 炼钢炉内的成分变化

(1) 碱性平炉 (B.O.H.) 将石灰石、石灰、铁矿石和废钢装入炉内，加热到高温，当半熔融状态的高碱度、高氧化性炉渣形成时，兑入铁水。与此同时发生激烈的脱碳反应， $[Si]$ 、 $[Mn]$ 、 $[P]$ 也迅速氧化形成炉渣。

以后，随着温度的升高，废钢熔化，石灰在成渣，脱碳和脱硫反应也在缓慢地进行。在熔毕以前，在炉渣——钢水之间除 $[C]$ 、 $[S]$ 以外， $[Si]$ 、 $[Mn]$ 、 $[P]$ 已几乎达到平衡状态，以后接着处于动态平衡状态。在熔炼末期，钢水中 $[C]$ 、 $[S]$ 也接近平衡状态（图6-8）。

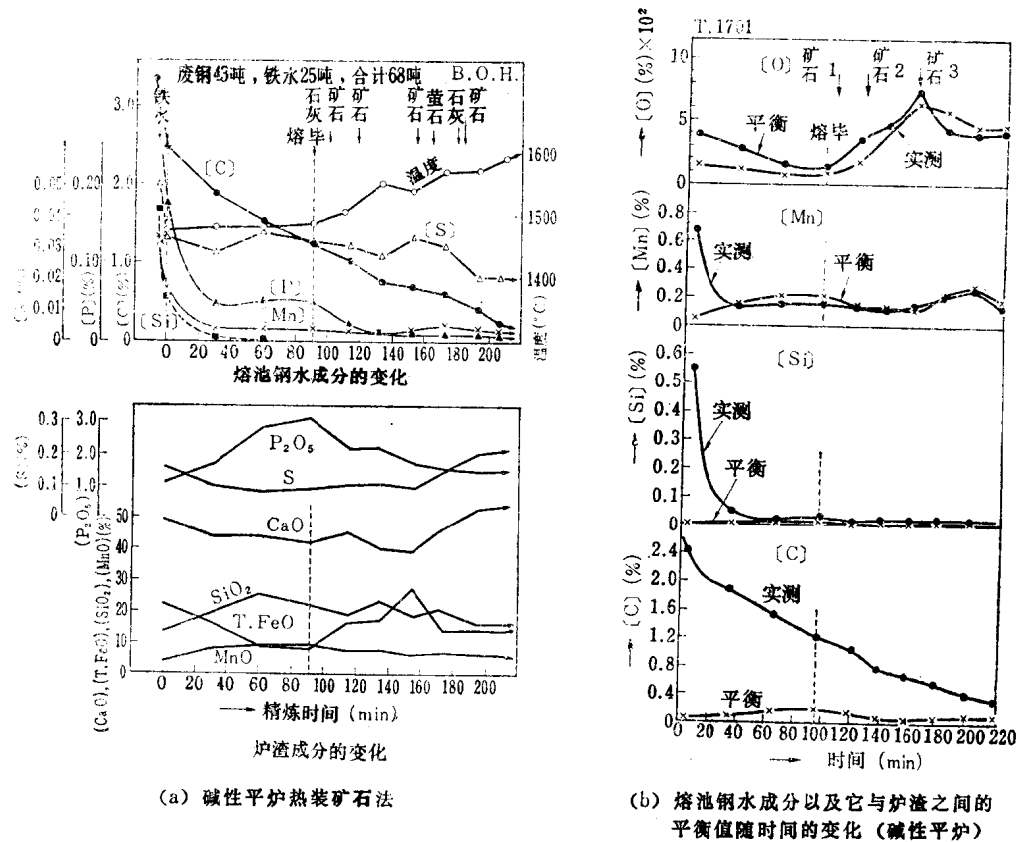


图6-8 碱性平炉精炼过程中的成分变化

(2) 酸性平炉 (A.O.H.) 图6-9表示酸性平炉（多数为冷装法）熔毕以后的炉内情况。反应非常缓慢。炉渣是强酸性的。初期温度低而且总氧化铁含量 $\Sigma FeO\%$ 又高，在这段时间里，钢水中 $[Si]$ 、 $[Mn]$ 降低。在温度升高和 $\Sigma FeO$ 降低的同时，虽然 $[Si]$ 、 $[Mn]$ 还原得缓慢，但却能被还原到熔池中去。 $[P]$ 、 $[S]$ 不但不能完全去除，反而能从原料中或渣相中进入钢水。脱碳非常缓慢，钢水含氧量 $[O]$ 低。

(3) 碱性电炉 (B.E.F.) 电弧炉的特点是能任意地以氧化性气氛或还原性气氛进行操作，一般是用两种气氛配合起来进行操作。图6-10表示电弧炉的这种操作特点，前半部分的氧化期和平炉没有什么不同的地方。

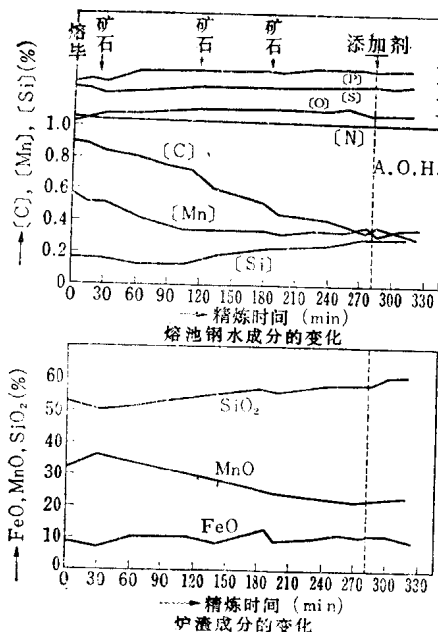


图6-9 酸性平炉精炼过程中的成分变化

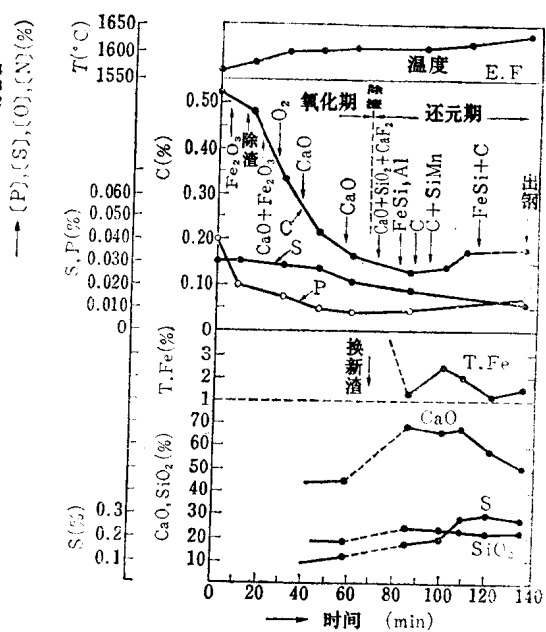


图6-10 碱性电弧炉精炼过程中的成分变化

氧化期完了重新造渣进入还原期。以后的操作方向是尽量使渣中总氧化铁含量( $\Sigma FeO$ )减少，以便生成 $CaO-SiO_2-Al_2O_3$ ( $CaF_2$ )渣系的高碱度强还原性炉渣。在此期间虽然能非常顺利地进行脱硫，但回到钢水中的磷却增加了。另外，增碳操作也是非常简单的。图6-11表示钢水中[N]、[H]、[O]随炼钢时间的变化。在还原期，钢水中[N]、[H]随着炼钢时间的进行而增高，[O]随着炼钢时间的进行而降低。

(4) 碱性底吹转炉(托马斯转炉) 碱性底吹转炉由于从炉底的风眼强制吹入空气，所以预先装在高磷铁水下面●的石灰，将被吹到炉子上部，[Si]迅速氧化成渣；另外，一部分Fe也被氧化生成(FeO)。如图6-12所示，在吹炼前半期，成渣的石灰少(即熔解的石灰少)，炉渣碱度非常低，渣中总氧化铁 $\Sigma FeO$ 也低。因此，到 $\Sigma FeO$ 增多和 $CaO/SiO_2$ 很高的炉渣形成，以及碳已经降低的后半期时，磷才开始非常缓慢地降低。在吹炼末期， $CaO$ 全部成渣，生成含 $P_2O_5$ 高的炉渣。

(5) 氧气顶吹转炉(B.O.F.或称LD转炉) 在吹炼过程的前三分之一个时间里，脱碳反应比较缓慢，但钢水中[Si]、[Mn]、[P]却在迅速地降低，有(FeO)生成，炉渣碱度 $CaO/SiO_2$ 也在逐渐地升高，进行成渣。在吹炼过程中的三分之一个时间里，仅有与供氧量相当的脱碳反应在急剧地进行。在此期间，钢水中[Si]为痕迹，[P]、

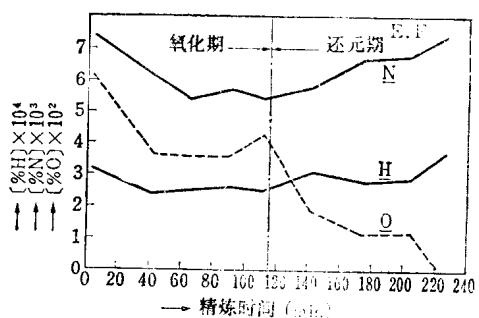


图6-11 碱性电弧炉钢水中气体成分的变化

● 译注：原书误为上面。

$[Mn]$ 和炉渣达到平衡，由于温度升高， $(FeO)$ 比较低而且稳定，所以磷和锰又从炉渣回到钢水中。在吹炼末期的三分之一时间里，脱碳反应衰弱下来，由于渣中 $(FeO)$ 增加和石灰的成渣，炉渣碱度 $CaO/SiO_2$ 又有了进一步的提高，使钢水中 $[P]$ 、 $[Mn]$ 又重新降低。当 $[C] = 0.02\%$ 左右时，脱碳速度几乎等于零。从吹炼开始，钢水中 $[S]$ 就缓慢地持续降低（图6-13）。

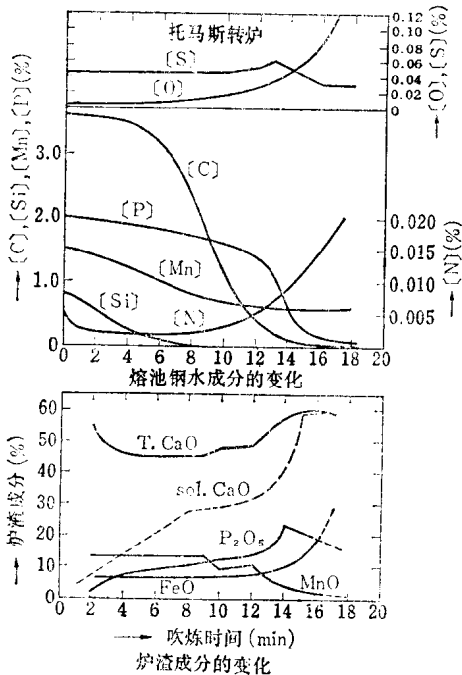


图6-12 碱性底吹转炉吹炼过程中成分随时间的变化(托马斯转炉法)

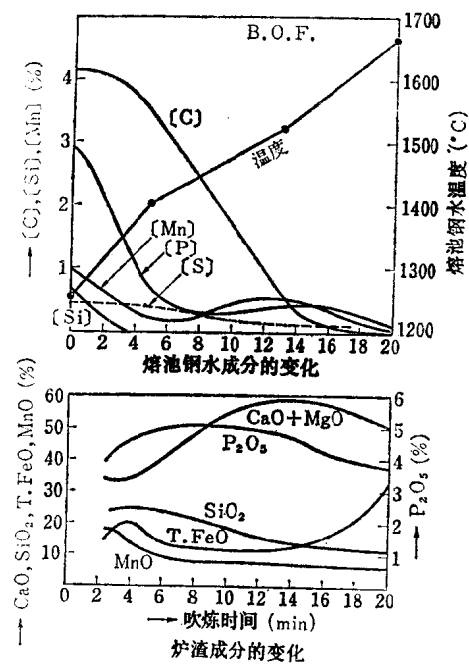


图6-13 氧气顶吹转炉吹炼过程中成分随时间的变化

#### 4. 脱碳反应

##### (1) 脱碳反应平衡

①  $Fe-O-C$



$CO + CO_2 = 1$  大气压时的平衡常数<sup>11)</sup>

$$\lg K_1 = \lg \left( \frac{p_{CO_2}}{p_{CO} \cdot a_O} \right) = - \frac{8718}{T} + 4.762$$

$$\lg K_2 = \lg \left( \frac{p_{CO^2}}{p_{CO} \cdot a_C} \right) = - \frac{7558}{T} + 6.765$$

$$\lg K_3 = \lg \left( \frac{p_{CO}}{a_C \cdot a_O} \right) = - \frac{1160}{T} + 2.003$$

① 注：原书误为 $(CO)$ 。